

# Géométrie numérique

Séance 5 – Reconstruction de surfaces

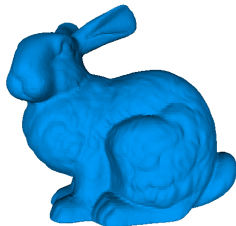
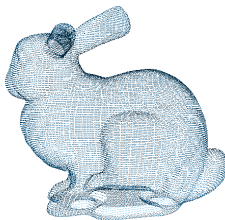
---

Franck Hétroy-Wheeler

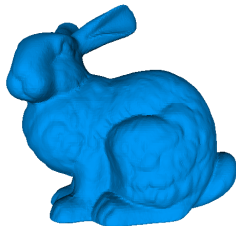
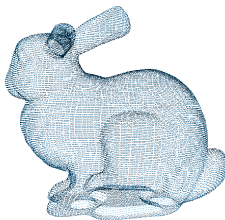
M1 ISI – 2017-2018



D'un **nuage de points** 3D à une surface **maillée**



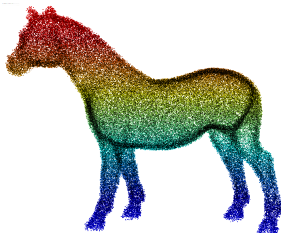
D'un **nuage de points** 3D à une surface **maillée**



- ▶ **2-variété**
- ▶ Sans **bord** (*watertight*)
- ▶ **Approchant** les points (plutôt qu'interpolant)

Le nuage de points peut être :

- ▶ **Organisé** (issu d'un scan en lignes/colonnes) ou non
- ▶ **Orienté** (normale associée à chaque point) ou non
- ▶ De **densité uniforme** ou non
- ▶ **Bruité** ou non



Contexte

**Méthodes type Delaunay**

Méthodes par surface implicite

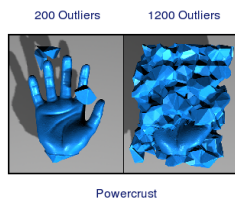
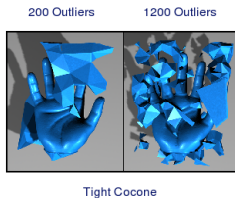
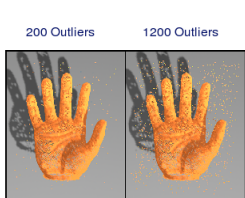
Autres approches

Conclusion

- ▶ **Triangulation de Delaunay** : cf. cours “Modélisation et algorithmique géométrique” S3
  - ▶ Définition : aucun sommet dans le cercle circonscrit à un triangle
  - ▶ Propriété fondamentale : maximise l'angle minimum

- ▶ **Triangulation de Delaunay** : cf. cours “Modélisation et algorithmique géométrique” S3
  - ▶ Définition : aucun sommet dans le cercle circonscrit à un triangle
  - ▶ Propriété fondamentale : maximise l'angle minimum
- ▶ Grande partie des méthodes existantes
- ▶ Intérêt : preuves théoriques de **validité**
  - ▶ Topologie, distance Euclidienne aux échantillons, distance des normales
  - ▶ Sous **conditions** (pas/peu de bruit, ...)
- ▶ [http://interstices.info/display.jsp?id=c\\_12845](http://interstices.info/display.jsp?id=c_12845)

- ▶ **Taille** du maillage résultat  $\sim$  taille de l'échantillon
  - ▶ Pas/peu d'ajout de points
- ▶ **Echantillonnage** connu et uniforme  $\Rightarrow$  très **précis**
- ▶ **Bruit** ou **points aberrants**  $\Rightarrow$  mauvais résultats



Contexte

Méthodes type Delaunay

**Méthodes par surface implicite**

Méthode de Hoppe et al.

Utilisation de RBF

Reconstruction de Poisson

Autres approches

Conclusion

► Idée :

1. Définir une **surface implicite lisse** qui approche la surface réelle sous-jacente
2. **Projeter** ou générer les/des points sur cette surface et trianguler



- ▶ Idée :
  1. Définir une **surface implicite lisse** qui approche la surface réelle sous-jacente
  2. **Projeter** ou générer les/des points sur cette surface et trianguler
- ▶ Problème principal : **définition** de la surface implicite
  - ▶ Beaucoup de possibilités : fonction de distance, MLS, RBF, ...

▶ **Entrée :**

- ▶ Points avec coordonnées 3D, pas de normale
- ▶ **Topologie**/bords : **arbitraires**, inférés depuis le nuage de points
- ▶ **Densité** d'échantillonnage : supposée **uniforme**, donnée en paramètre
- ▶ Erreur max par rapport à la surface sous-jacente (bruit) : donnée en paramètre

▶ **Entrée :**

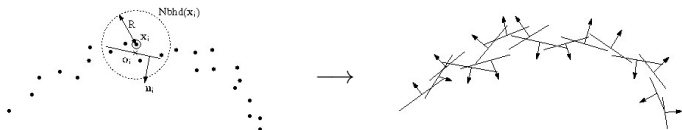
- ▶ Points avec coordonnées 3D, pas de normale
- ▶ **Topologie**/bords : **arbitraires**, inférés depuis le nuage de points
- ▶ **Densité** d'échantillonnage : supposée **uniforme**, donnée en paramètre
- ▶ Erreur max par rapport à la surface sous-jacente (bruit) : donnée en paramètre

▶ **Sortie :**

- ▶ Surface **maillée**
- ▶ Pas nécessairement triangulée
- ▶ **2-variété** connexe et orientable

- ▶ 4 étapes :
  1. Estimation du **plan tangent** à la surface sous-jacente  $S$  en chaque point  $x_i$  du nuage
    - ▶ Approximation localement linéaire de  $S$
  2. **Orientation** consistante de chacun des plans par rapport à ses voisins
  3. Fonction implicite : **distance Euclidienne signée** à un plan proche et échantillonnage sur une **grille de voxels**
  4. Extraction d'une **isosurface**

- ▶ Définition : **centre**  $o_i$  et **normale**  $n_i$
- ▶ Approche par **plus proches voisins**
  - ▶ Calcul de  $o_i$  par approximation aux **moindres carrés** des  $k$  points les plus proches de  $x_i$
  - ▶ Calcul de  $n_i$  par ACP
  - ▶  $k$  = paramètre fixé par l'utilisateur



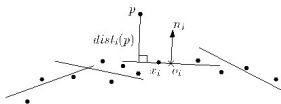
### ► Optimisation de graphe

- Nœuds = plans, arête  $P_i P_j$  si  $o_i$  et  $o_j$  proches (graphe riemannien)
- Poids d'une arête =  $1 - n_i \cdot n_j$
- Objectif : minimisation du poids total du graphe
- Problème NP-complet  $\Rightarrow$  approximation : arbre couvrant minimal

- ▶ Distance Euclidienne signée à un **plan proche** :

$$f(x) = (x - o_i) \cdot n_i$$

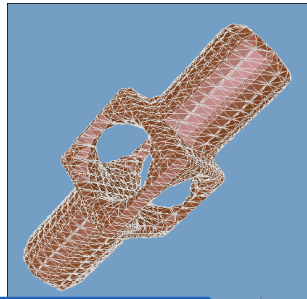
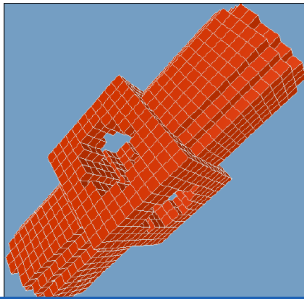
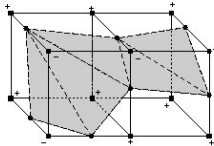
avec  $o_i$  centre le plus proche de  $x$



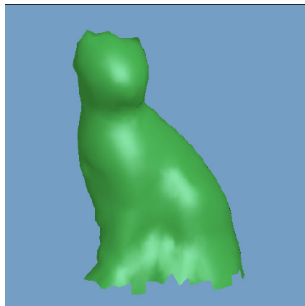
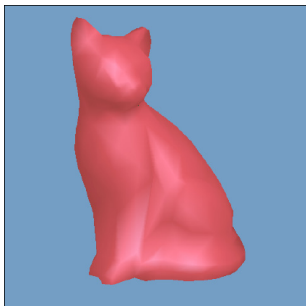
- ▶ Surfaces à bord : les points trop éloignés se voient assignés une distance infinie
- ▶ Distance échantillonnée aux sommets d'une **grille de voxels**

## Etape 4 : isosurface

- Algorithme des **Marching Cubes** [Lorensen and Cline, SIGGRAPH 1987]



- ▶ Complexité en temps et place mémoire :  $O(n \log n + m)$ 
  - ▶  $n$  = nombre de points,  $m^3$  = taille de la grille
- ▶ Problème si densité non uniforme : besoin d'une **taille de voisinage adaptative**
- ▶ Résultats impressionnants ... pour l'époque (1992)!



- ▶ **Fonction radiale** : ne dépend que de la **distance à un point**  $x_i$

$$\Phi(x, x_i) = \phi(\|x - x_i\|)$$

- ▶ Invariante pour toute rotation autour de  $x_i$
- ▶  $x_i$  appelé **centre** de la fonction radiale

- ▶ **Fonction radiale** : ne dépend que de la **distance à un point**  $x_i$

$$\Phi(x, x_i) = \phi(\|x - x_i\|)$$

- ▶ Invariante pour toute rotation autour de  $x_i$
  - ▶  $x_i$  appelé **centre** de la fonction radiale
- 
- ▶ Fonctions de base radiales classiques :
    - ▶ Gaussiennes :  $\phi(r) = e^{-\alpha r^2}$
    - ▶ Multiquadratiques :  $\phi(r) = \sqrt{r^2 + \alpha^2}$
    - ▶ Splines à plaque mince :  $\phi(r) = r^2 \log r$
    - ▶ Monomiales :  $\phi(r) = r^n$

$$\blacktriangleright f(x) = \sum_{i=1}^n \lambda_i \phi(\|x - x_i\|) + P(x)$$

- ▶ On suppose  $f$  connue en les  $x_i$ , les  $\lambda_i$  inconnus
- ▶  $P$  polynôme, dépend du choix des RBF, nécessaire pour trouver les  $\lambda_i$

- ▶  $f(x) = \sum_{i=1}^n \lambda_i \phi(\|x - x_i\|) + P(x)$ 
  - ▶ On suppose  $f$  connue en les  $x_i$ , les  $\lambda_i$  inconnus
  - ▶  $P$  polynôme, dépend du choix des RBF, nécessaire pour trouver les  $\lambda_i$
- ▶ S'écrit sous forme matricielle :

$$\begin{pmatrix} \Phi & X \end{pmatrix} \begin{pmatrix} \lambda \\ c \end{pmatrix} = (f)$$

avec :

- ▶  $\Phi(i, j) = \phi(\|x_i - x_j\|)$
- ▶  $X(i, \cdot) = (1 \ x_i \ y_i \ z_i)$
- ▶  $\lambda$  vecteur des  $\lambda_i$
- ▶  $c$  vecteur des coefficients de  $P$
- ▶  $f$  vecteur des  $f(x_i)$

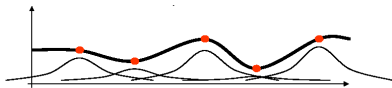
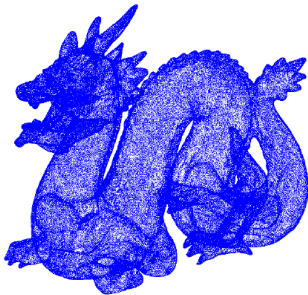


Figure par Marc Alexa

- ▶ Système inversible d'équations linéaires : pas besoin de **grille**
- ▶ Choix des fonctions de base : plus de **contrôle** qu'avec une fonction de distance
- ▶ Inconvénient : besoin de quelques **normales** (peuvent être estimées par la méthode de Hoppe) pour éviter la solution triviale  $f(x) = 0$
- ▶ Temps de calcul : long mais astuces pour accélérer le temps de calcul

J. C. Carr et al., "Reconstruction and Representation of 3D Objects with Radial Basis Functions", SIGGRAPH 2003

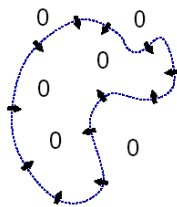


Modélisation du problème :

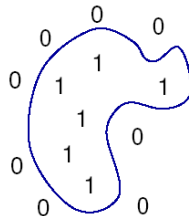
- ▶ Entrée : points **munis de leurs normales**
- ▶ **Fonction indicatrice** sur  $\mathbb{R}^3$  : 1 à l'intérieur de l'objet, 0 en dehors
- ▶  $\Rightarrow$  **Gradient** : 0 partout sauf au voisinage de la surface



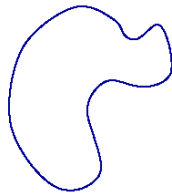
Oriented points  
 $\vec{V}$



Indicator gradient  
 $\nabla \chi_M$



Indicator function  
 $\chi_M$



Surface  
 $\partial M$

- ▶ Entrée : **gradient** échantillonné
  - ▶  $V$  = champ de gradient défini aux points = **normales** des points  $x_i$
- ▶ Problème : trouver la **fonction indicatrice**  $\chi$  qui minimise  $\|\nabla\chi - V\|$

- ▶ Entrée : **gradient** échantillonné
  - ▶  $V$  = champ de gradient défini aux points = **normales** des points  $x_i$
- ▶ Problème : trouver la **fonction indicatrice**  $\chi$  qui minimise  $\|\nabla\chi - V\|$
- ▶ Se reformule comme une **équation de Poisson**

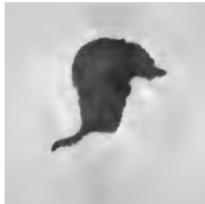
$$\Delta\chi = \nabla \cdot \nabla\chi = \nabla V$$

- ▶ Equation de diffusion :  $\Delta\chi = 0$

- ▶ Implémentation **efficace** possible
  - ▶  $\chi$  décomposée dans une base de fonctions à **support compact**  $\Rightarrow$  système matriciel creux
  - ▶ Discrétisation de l'espace adaptative : **octree** plutôt qu'une grille uniforme
- ▶ **Code** disponible
  - ▶ <http://www.cs.jhu.edu/~misha/Code/PoissonRecon>
  - ▶ Trois méthodes

- ▶ Implémentation **efficace** possible
  - ▶  $\chi$  décomposée dans une base de fonctions **à support compact**  $\Rightarrow$  système matriciel creux
  - ▶ Discrétisation de l'espace adaptative : **octree** plutôt qu'une grille uniforme
- ▶ **Code** disponible
  - ▶ <http://www.cs.jhu.edu/~misha/Code/PoissonRecon>
  - ▶ Trois méthodes
- ▶ Pour en savoir plus :
  - ▶ M. Kazhdan, M. Bolitho and H. Hoppe, "Poisson Surface Reconstruction", Symposium on Geometry Processing 2006

- ▶ Théoriquement très **simple**
- ▶ Fonction  $\chi$  **lisse**  $\Rightarrow$  bons résultats même en présence de bruit
- ▶ Surface fermée, sans arêtes vives
- ▶ Besoin de l'information de **normales** partout, et consistantes



- ▶ **Moving Least Squares (MLS)**

- ▶ Fonctions de base : fonctions quadratiques approchant localement la surface
- ▶ Plus de détails demain
- ▶ Article : C. Shen, J.F. O'Brien, J.R. Shewchuk, "Interpolating and Approximating Implicit Surfaces from Polygon Soup", SIGGRAPH 2004

### ▶ **Moving Least Squares (MLS)**

- ▶ Fonctions de base : fonctions quadratiques approchant localement la surface
- ▶ Plus de détails demain
- ▶ Article : C. Shen, J.F. O'Brien, J.R. Shewchuk, "Interpolating and Approximating Implicit Surfaces from Polygon Soup", SIGGRAPH 2004

### ▶ **Multi-Level Partition of Unity (MPU)**

- ▶ Fonctions de base : trois types de quadriques différentes suivant la forme locale de la surface (lisse, arêtes vives)
- ▶ Combinées à des **fonctions de poids** bien choisies
- ▶ Article : Y. Ohtake et al., "Multi-Level Partition of Unity Implicits", SIGGRAPH 2003

▶ **Moving Least Squares (MLS)**

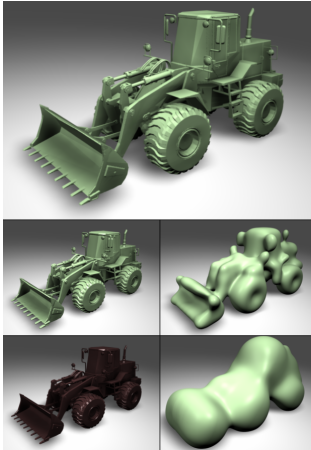
- ▶ Fonctions de base : fonctions quadratiques approchant localement la surface
- ▶ Plus de détails demain
- ▶ Article : C. Shen, J.F. O'Brien, J.R. Shewchuk, "Interpolating and Approximating Implicit Surfaces from Polygon Soup", SIGGRAPH 2004

▶ **Multi-Level Partition of Unity (MPU)**

- ▶ Fonctions de base : trois types de quadriques différentes suivant la forme locale de la surface (lisse, arêtes vives)
- ▶ Combinées à des **fonctions de poids** bien choisies
- ▶ Article : Y. Ohtake et al., "Multi-Level Partition of Unity Implicits", SIGGRAPH 2003

▶ Ces deux méthodes supposent la surface lisse **localement**, contrairement à RBF et Poisson

- ▶ Arêtes vives possibles



MLS



MPU

Contexte

Méthodes type Delaunay

Méthodes par surface implicite

**Autres approches**

Conclusion

Idée :

- ▶ **Etiqueter** directement chaque sommet d'une **grille volumique** comme **intérieur** ou **extérieur**
- ▶ Appliquer une méthode type Marching Cubes pour générer la surface

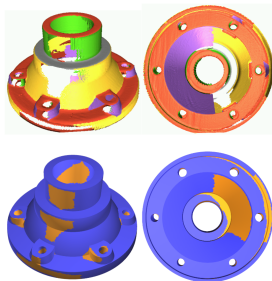
Exemple : A. Hornung and L. Kobbelt, "Robust reconstruction of 3D models from point clouds", Eurographics 2006

- ▶ Etiquetage : méthode par coupure de graphe
- ▶ Très robuste : bruit, échantillonnage non uniforme, données manquantes



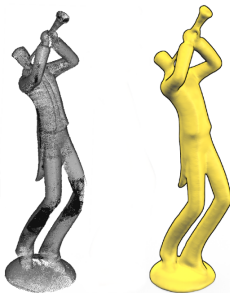
Idée :

- ▶ Approcher **localement** la surface par une **primitive géométrique** simple
  - ▶ **Plan**, sphère, cône, cylindre, ...
- ▶ Problème à résoudre ensuite : **couture** des primitives voisines
- ▶ Particulièrement adapté aux **modèles industriels** (CAO)
- ▶ Robuste au bruit et données manquantes
- ▶ Exemple : R. Schnabel et al.,  
 "Completion and Reconstruction with Primitive Shapes",  
 Eurographics 2009

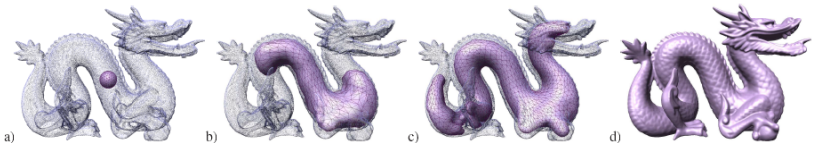


Idée :

- ▶ Calcul d'une **courbe représentative** de l'objet appelée **squelette** à l'intérieur de celui-ci
- ▶ Grossissement local anisotropique de cette courbe
- ▶ Particulièrement adapté aux **modèles tubulaires** ou à axe de révolution (vases, ...)
- ▶ Robuste aux données manquantes
- ▶ Exemple : A. Tagliasacchi et al., "VASE : Volume-Aware Surface Evolution for Surface Reconstruction from Incomplete Point Clouds", Symposium on Geometry Processing 2011



- ▶ Idée : partir d'une forme simple et petite (sphère par exemple) à l'intérieur de l'objet et la **déformer** pour qu'elle aille plaquer la surface
- ▶ Difficulté : établir les équations de déformation
- ▶ Suppose la surface fermée (**watertight**)
- ▶ Robuste au données manquantes
- ▶ Exemple : A. Sharf et al., "Competing Fronts for Coarse-to-Fine Surface Reconstruction", Eurographics 2006



- ▶ **Très** nombreuses approches
  - ▶ Etat de l'art récent : M. Berger et al., "A Survey of Surface Reconstruction from Point Clouds", Computer Graphics Forum 2016
- ▶ Idée classique : interpoler ou approcher les points par une **surface implicite**
  - ▶ Surface lisse, la plupart du temps fermée
- ▶ Points critiques :
  - ▶ Approche locale ou globale ?
  - ▶ Utilisation des **normales** aux points ou pas ? Orientées ou pas ?
  - ▶ **Robustesse** : bruit, densité non uniforme, données manquantes

Merci

